

**ЭКСКЛЮЗИВНОЕ СЕЧЕНИЕ РЕАКЦИИ  ${}^3H(p, pn){}^1H$  В  
ДИФРАКЦИОННОМ ПРИБЛИЖЕНИИ**

В. К. Тартаковский<sup>1</sup>, А. В. Фурсаев<sup>1</sup>, Б. И. Сидоренко

<sup>1</sup> Киевский национальный университет имени Тараса Шевченко

Теоретически в дифракционном приближении исследован процесс полного расщепления тритонов ( ${}^3H \rightarrow p + 2n$ ) протонами с энергией 72 МэВ. Произведены оценка величины сечения трехчастичной дезинтеграции ядер  ${}^3H$  относительно сечения реакции  ${}^3H(p, pn){}^2H$  и сравнение с экспериментальными данными [1].

Изучение процесса  $p + {}^3H \rightarrow p + n + p' + n'$ , где  $p'$ ,  $n$ ,  $n'$  – нуклоны, образующиеся при полном развале тритона вследствие столкновения с протоном  $p$ , представляет интерес как теоретическая задача о четырех взаимодействующих нуклонах в связи с описанием экспериментов на совпадение [1] по расщеплению ядер  ${}^3H$  протонами с энергией  $E_0 \approx 70$  МэВ. В этих экспериментах в компланарной геометрии детектировались летящие под углами  $45^\circ$  к направлению падения протона два нуклона – протон и нейтрон.

Настоящая работа является продолжением работы [2], где в дифракционном приближении были рассчитаны дифференциальные сечения двухчастичного расщепления тритона  $p + {}^3H \rightarrow p + n + {}^2H$  падающими протонами и результаты сравнивались с данными экспериментов [1]. Величины измеренных и рассчитанных сечений в области максимумов оказались близкими по величине, что указывало на основной вклад двухчастичного расщепления. Здесь рассчитан в дифракционном приближении также относительный вклад в наблюдаемые сечения [1] трехчастичного развала.

Общее выражение для дифференциального сечения трехчастичного расщепления ядер  ${}^3H$  при столкновении с протонами можно представить в лабораторной системе отсчета в следующем виде ( $\hbar/2\pi = c = 1$ ):

$$d^{12}\sigma_3 = (2\pi)^4 \xi \delta(\vec{p}_0 - \vec{p}_p - \vec{p}_n - \vec{p}'_p - \vec{p}'_n) |M_{if}^{(3)}|^2 \times \\ \times \delta(E_0 - \varepsilon - E_p - E_n - E'_p - E'_n) \frac{d\vec{p}_p}{(2\pi)^3} \frac{d\vec{p}_n}{(2\pi)^3} \frac{d\vec{p}'_p}{(2\pi)^3} \frac{d\vec{p}'_n}{(2\pi)^3}, \quad (1)$$

где  $\vec{p}_0(E_0)$ ,  $\vec{p}_p(E_p)$ ,  $\vec{p}_n(E_n)$ ,  $\vec{p}'_p(E'_p)$ ,  $\vec{p}'_n(E'_n)$  – импульсы (энергии) соответствующего и рассеянного протона  $p$ , первого выбитого из тритона нейтрона  $n$ , выбитого протона  $p'$ , второго нейтрона  $n'$ ;  $\varepsilon$  – энергия связи ядра  ${}^3H$ . Величина  $M_{if}^{(3)}$  связана с амплитудой перехода  $A_{if}^{(3)}(\vec{q})$  простым соотношением

$$M_{if}^{(3)} = \frac{4k}{3M} A_{if}^{(3)}(\vec{q}), \quad (2)$$

$$A_{if}^{(3)}(\vec{q}) = - \int d^{(3)}\vec{r} \int d^{(3)}\vec{s} \int d^{(2)}\vec{\rho} \Psi_{\vec{f}, \vec{n}}^*(\vec{r}, \vec{s}) \hat{\omega}_{123} \Psi_0(\vec{r}, \vec{s}) \exp(i\vec{q}\vec{\rho}), \quad (3)$$

где  $\Psi_0(\vec{r}, \vec{s})$  и  $\Psi_{\vec{f}, \vec{n}}(\vec{r}, \vec{s}) = \varphi_{\vec{f}}(\vec{r})\varphi_{\vec{n}}(\vec{s})$  – волновые функции начального (связанного) и конечного состояний трехнуклонной системы  $nn'p'$ ;  $\vec{r}$  – радиус-вектор, соединяющий

первый нейтрон  $n$  с центром тяжести системы из протона  $p'$  и второго нейтрана  $n'$ ;  $\vec{s}$  – радиус-вектор, соединяющий нуклоны  $p'$  и  $n'$ ;  $\xi$  – кинематический множитель, связанный с переходом от системы центра инерции к лабораторной системе [2, 3];  $\hat{\omega}_{123}$  – дифракционный оператор [2];  $\vec{k}$  – относительный импульс падающего протона и тритона;  $M$  – масса нуклона;  $\vec{q}$  ( $\vec{f}$ ) – переданный (относительный) импульс протона  $p$  (системы двух нуклонов  $p'$  и  $n'$ ), которые в нерелятивистском случае определяются таким образом:

$$\vec{q} = \vec{p}_0 - \vec{p}_p, \quad \vec{f} = \vec{p}_n - \frac{1}{3}(\vec{p}_0 - \vec{p}_p) \equiv \vec{p}_n - \frac{\vec{q}}{3}, \quad \vec{u} = \frac{1}{2}(\vec{p}'_p - \vec{p}'_n). \quad (4)$$

Так как энергия падающих протонов  $E_0 \approx 70$  МэВ и переданные энергии и импульсы в экспериментах [1] были сравнительно невелики, будем учитывать взаимодействие продуктов реакции лишь в  $s$ -состоянии и, в соответствии с этим, использовать модельные волновые функции

$$\varphi_{\vec{f}}(\vec{r}) = \exp(i\vec{f}\vec{r}) - \sqrt{8} \exp\left(-\frac{f^2}{4\alpha^2} - \alpha^2 r^2\right), \quad (5)$$

$$\varphi_{\vec{u}}(\vec{s}) = \exp(i\vec{u}\vec{s}) - \sqrt{8} \exp\left(-\frac{u^2}{4\lambda^2} - \lambda^2 s^2\right). \quad (6)$$

При этом волновые функции  $\Psi_0(\vec{r}, \vec{s})$  и  $\Psi_{\vec{f}, \vec{u}}(\vec{r}, \vec{s})$  в (3) ортогональны. Остальные величины и численные значения параметров структуры и взаимодействия такие же, как и в работе [2].

Поскольку в [1] регистрировались на совпадение только два нуклона (протон и нейтрон), то сечение (1) необходимо проинтегрировать по импульсам двух недетектируемых нуклонов. Так как регистрирующие устройства не различают двух конечных протонов (рассеянного и выбитого) и двух выбитых нейтронов, то необходимо сложить проинтегрированные сечения, найденные в следующих четырех случаях (ситуация подобна описанной в [4]):

1) интегрируем (1) по импульсам  $\vec{p}'_p$  и  $\vec{p}'_n$  ненаблюдаемых выбитых протона  $p'$  и второго нейтрана  $n'$ . При этом четыре интегрирования (например, по  $\vec{p}'_p$  и  $E'_n$ ) легко выполняются за счет наличия в (1) трехмерной импульсной и одномерной энергетической дельта-функций, а оставшиеся интегрирования (по углам вылета нейтрана  $n'$ ) выполняются численно. В результате имеем сечение

$$\frac{d^6\sigma_3}{d\vec{p}_p d\vec{p}_n} = \frac{1}{2M^3 \sqrt{E_p E_n}} \frac{d^6\sigma_3}{d\Omega_p d\Omega_n dE_p dE_n} \equiv (2M^3 \sqrt{E_p E_n})^{-1} \sigma_3^{(6)}. \quad (7)$$

Для измерений [1], не фиксирующих энергию нейтрана  $E_n$ , в (7) необходимо проинтегрировать по  $E_n$ , так что получим сечение  $\sigma_3^{(5)} = d^5\sigma_3 / d\Omega_p d\Omega_n dE_p$ ;

2) интегрируя (1) по импульсам  $\vec{p}_p$  и  $\vec{p}'_n$ , получим сечение

$$\frac{d^6\sigma_3}{d\vec{p}'_p d\vec{p}_n} = \frac{1}{2M^3 \sqrt{E'_p E_n}} \frac{d^6\sigma_3}{d\Omega'_p d\Omega_n dE'_p dE_n} \equiv (2M^3 \sqrt{E'_p E_n})^{-1} \sigma_3'^{(6)}; \quad (8)$$

3) после интегрирования (1) по  $\vec{p}'_p$  и  $\vec{p}_n$  сечение имеет вид

$$\frac{d^6\sigma_3}{d\vec{p}_p d\vec{p}'_n} = \frac{1}{2M^3 \sqrt{E_p E'_n}} \frac{d^6\sigma_3}{d\Omega'_p d\Omega'_n dE_p dE'_n} \equiv (2M^3 \sqrt{E_p E'_n})^{-1} \sigma''^{(6)}; \quad (9)$$

4) интегрируя (1) по  $\vec{p}_p$  и  $\vec{p}'_n$ , получим сечение

$$\frac{d^6\sigma_3}{d\vec{p}'_p d\vec{p}'_n} = \frac{1}{2M^3 \sqrt{E'_p E'_n}} \frac{d^6\sigma_3}{d\Omega'_p d\Omega'_n dE'_p dE'_n} \equiv (2M^3 \sqrt{E'_p E'_n})^{-1} \bar{\sigma}^{(6)}. \quad (10)$$

В экспериментах [1] регистрировалось суммарное сечение

$$\sigma^{(6)} = \sigma_2^{(6)} + \sigma_3, \quad (11)$$

$$\sigma_3 = \sigma_3^{(6)} + \sigma'^{(6)}_3 + \sigma''^{(6)}_3 + \bar{\sigma}^{(6)}, \quad (12)$$

где через  $\sigma_2^{(6)}$  обозначено рассчитанное в [2] дифференциальное сечение двухчастичного расщепления тритона, а через  $\sigma_3$  – суммарное сечение полной дезинтеграции ядра  ${}^3H$ . При этом в формулах (7) - (10) необходимо положить  $\theta'_p = \theta_p$ ,  $\theta'_n = \theta_n$ ,  $E'_p = E_p$ ,  $E'_n = E_n$ . Расчеты показали, что вклад сечения  $\sigma_3^{(6)}$  пренебрежимо мал в сравнении с величиной сечений  $\sigma'^{(6)}_3$ ,  $\sigma''^{(6)}_3$ ,  $\bar{\sigma}^{(6)}$ .

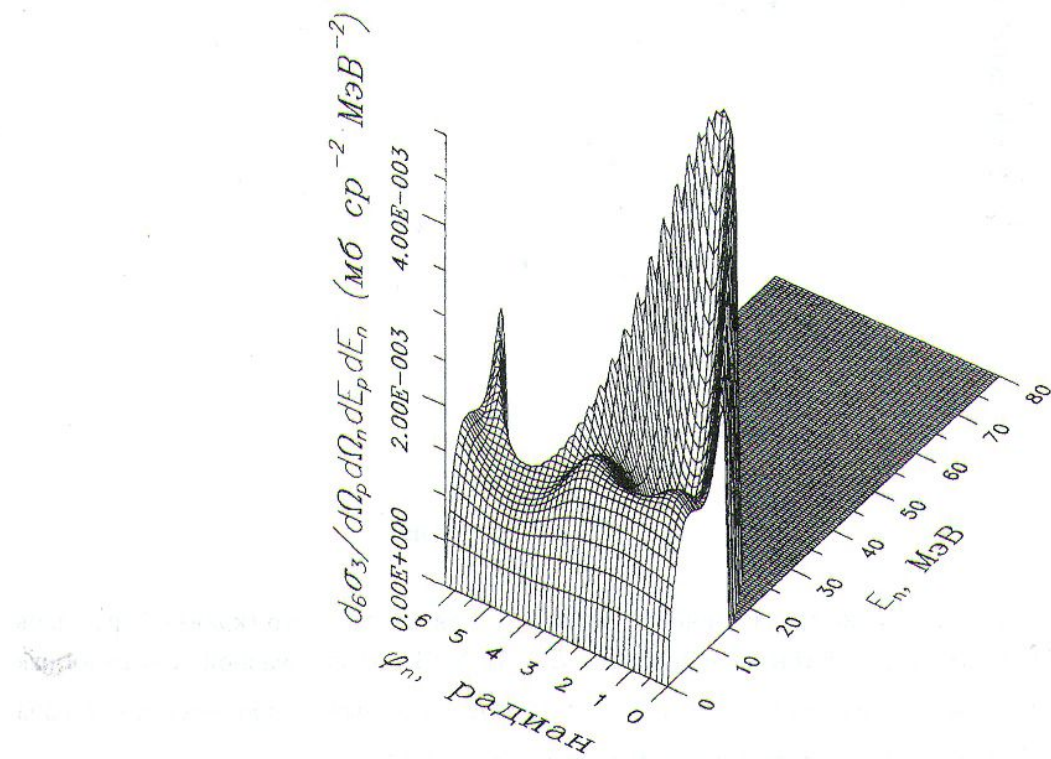


Рис. 1. Дифференциальное сечение  $d^6\sigma_3 / d\Omega_p d\Omega_n dE_p dE_n$  трехчастичного развала тритона протонами с энергией  $E_0 = 72$  МэВ в некомпланарной геометрии как функция азимутального угла вылета  $\varphi_n$  выбитого нейтрона из тритона и его энергии  $E_n$ . Энергия рассеянного протона  $E_p = 35$  МэВ, углы вылета протона  $p$  и нейтрона  $n$  равны  $\vartheta_n = \vartheta_p = 45^\circ$ .

В качестве иллюстрации на рис. 1 приводятся результаты расчетов сечения полного расщепления тритона  $\sigma_3^{(6)}$  как функция энергии  $E_n$  выбитого первого нейтрона  $n$  в тритоне и его азимутального угла вылета  $\varphi_n$ . Полярные и азимутальные углы определяются в системе отсчета задаваемой единичными векторами  $\vec{e}_x = [\vec{p}_0 \cdot \vec{p}_p]/p_0 p_p$ ,  $\vec{e}_y = [\vec{p}_0 \cdot \vec{p}_p] \cdot \vec{p}_0]/p_0^2 p_p$ ,  $\vec{e}_z = \vec{p}_0/p_0$ . Для кинематики эксперимента [1] значение  $\varphi_n = \pi/2$ . Из рельефа (см. рис. 1), следует, что изменение кинематических условий эксперимента [1] может существенно влиять на величину сечения трехчастичного развала.

На рис. 2 приведены зависимости от  $E_n$  рассчитанных сечений  $\sigma_2^{(6)}$  (кривая 1),  $\sigma_3^{(6)}$  (кривая 2) и измеренное сечение  $\sigma^{(6)}$  для обозначенных кинематических условий эксперимента [1]. Видно, что в области максимума  $\sigma_2^{(6)} >> \sigma_3^{(6)}$ , так что вклад этой составляющей сечения полного расщепления ядра  ${}^3H$  в наблюдаемое сечение [1] можно считать малым.

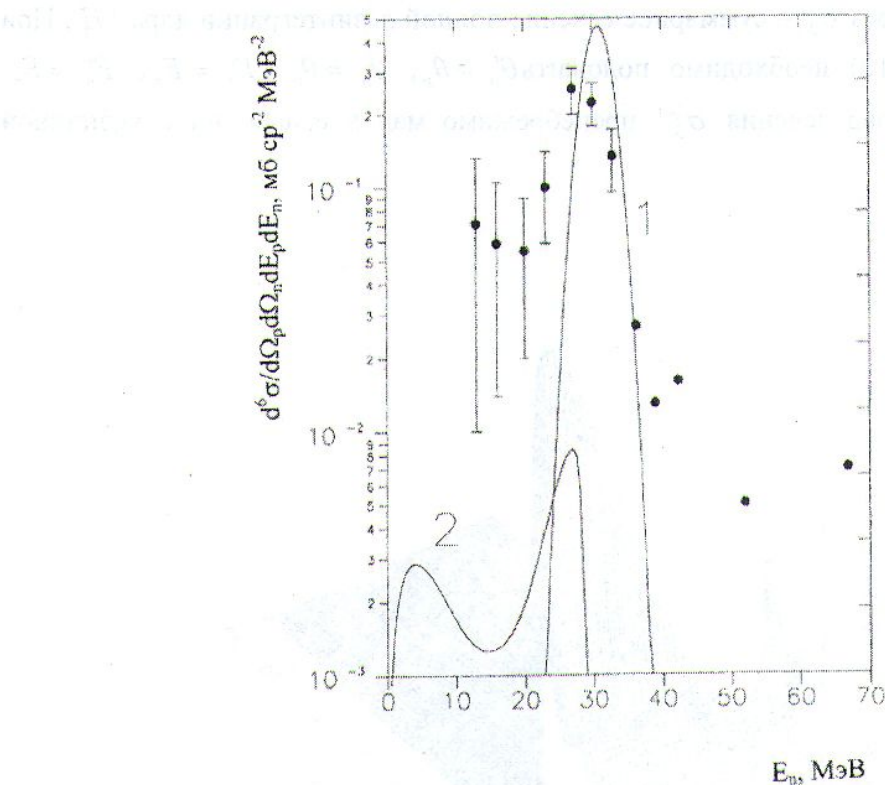


Рис. 2. Дифференциальное сечение трехчастичного (кривая 2) и двухчастичного (кривая 1) развалов тритона  $d^6\sigma_3/d\Omega_p d\Omega_n dE_p dE_n$  протонами с энергией  $E_0 = 72$  МэВ в компланарной геометрии как функция энергии  $E_n$ . Энергия рассеянного протона  $E_p = 35$  МэВ, углы вылета протона  $p$  и нейтрона  $n$  равны  $\vartheta_n = \vartheta_p = 45^\circ$ , угол между направлениями вылета  $\vartheta_{np} = 90^\circ$ .

Изложенные здесь результаты дополняют сообщение, опубликованное в [5]. Заметим, что отделить процесс полного (трехчастичного) расщепления ядер  ${}^3H$  от двухчастичного при рассеянии протонов, т.е. наблюдать этот процесс в чистом виде в принципе можно, если в эксперименте регистрировать на совпадение рассеянный и выбитый протоны или нейтроны, освободившиеся при развале тритона.

## СПИСОК ЛИТЕРАТУРЫ

1. Пасечник М.В., Шостак В.Б., Бадовский В.П. и др. // Изв. АН СССР. Сер. физ. - 1983. - Т.47. - С. 28.
2. Tartakovsky V.K., Fursayev A.V., Sidorenko B.I. // УФЖ. - 1999. - Т. 44. - С. 1203.
3. Давыдов А.С. Теория атомного ядра. - М.: Гос. изд-во физ.-мат. лит., 1958.
4. Гольдбергер М. Ватсон К. Теория столкновений. - М.: Мир, 1967.
5. Тартаковський В.К., Фурсаєв А.В., Сидоренко Б.І. // Збірник наукових праць Інституту ядерних досліджень НАН України, 1999. - С. 25 - 27.

**ЕКСКЛЮЗИВНИЙ ПЕРЕРІЗ РЕАКЦІЇ  ${}^3H(p, pn){}^1H$  У  
ДИФРАКЦІЙНОМУ НАБЛИЖЕННІ**

**В. К. Тартаковський, О. В. Фурсаєв, Б. І. Сидоренко**

Теоретично в дифракційному наближенні досліджено процес повного розщеплення тритонів ( ${}^3H \rightarrow p + 2n$ ) протонами з енергією 72 MeV. Проведено оцінку величини перерізу тричастинкової дезінтеграції ядер  ${}^3H$  відносно перерізу реакції  ${}^3H(p, pn){}^2H$  і порівняно з експериментальними даними [1].

**AN EXCLUSIVE CROSS SECTION OF REACTION  ${}^3H(p, pn){}^1H$  IN  
DIFFRACTION APPROXIMATION**

**V. K. Tartakovsky, A. V. Fursaev, B. I. Sidorenko**

A theoretical analysis in diffraction approach of full triton breakup process ( ${}^3H \rightarrow p + 2n$ ) at scattering of protons with energy 72 MeV is performed. An estimation of cross section magnitude of three particle breakup of  ${}^3H$  nucleus is carried out in order to compare with reaction cross section  ${}^3H(p, pn){}^2H$ . The comparison with experimental data [1] is done.